

ساخت و بررسی عملکرد غشاها نانوفیلتراسیون

اصلاح شده با نانوکامپوزیت EDTA-GO در

تصفیهی نمک - رنگ - فلزات سنگین سرب و مس:

بررسی اثر غلظت نمک در حذف رنگ

آنیونی کونگو رد از پساب

زینب ساحشور*

(دانشجوی دکری)

افسانه شهبازی (دانشیار)

پژوهشکده علوم محیطی، دانشگاه شهید بهشتی

در مطالعه‌ی حاضر، غشاها نانوفیلتراسیون پایی اترسولفون اصلاح شده با نانوفیلرهای GO و EDTA-GO ساخته شده است. سپس عملکرد آن‌ها از نظر شارع عموري، گرفتگی، نمک‌زدایي و کارابي حذف یون‌های فلزی Cu^{2+} و Pb^{2+} و رنگ کونگو رد (در سیستم تک جزئی) و نمک - رنگ (در سیستم دو جزئی) بررسی شده است. با افزایش غلظت EDTA-GO از صفر تا ۲۵٪ درصد وزنی میزان آب دوستی، شارع عموري، تخلخل و خواص ضدگرفتگی بهبود یافته است. کارابي حذف فلزات Cu^{2+} و Pb^{2+} در غشاء NFM_۳ نسبت به غشاء NFM به ترتیب از ۲۱ به ۸۸ درصد و از ۱۹ به ۸۵ درصد افزایش یافته است. کارابي حذف رنگ CR نتایج غشاها نانوفیلتراسیون اصلاح شده بیش از ۹۸٪ بدست آمده است. افزایش غلظت Na_2SO_4 در سیستم دو جزئی تأثیر قابل توجهی در کارابي حذف CR نداشته است. با توجه به کارابي غشاء اصلاح شده با نانوفیلر EDTA-GO در نمک‌زدایي و حذف رنگ و فلزات سنگین Cu^{2+} و Pb^{2+} می‌توان از آن به عنوان غشاء مناسب در تصفیه‌ی پساب استفاده کرد.

z.salahshoor@sbu.ac.ir
a.shahbazi@sbu.ac.ir

واژگان کلیدی: غشاء نانوفیلتراسیون، EDTA-GO، فلزات سنگین، تصفیه‌ی پساب، گرفتگی.

۱. مقدمه

گسترش از طریق فاضلاب‌های صنعتی به آب‌های سطحی تخلیه می‌شوند، به‌دلیل پایداری بالا و تجزیه‌ناپذیری زیستی در غلظت بسیار کم نیز منجر به تجمع زیستی در زنجیره‌ی غذایی می‌شود و طیف گستردگی از بیماری‌ها، اختلال‌ها و مسمومیت را ایجاد می‌کنند.^[۱] Pb^{2+} به عنوان یکی از فلزات سنگین بسیار سمنی است و می‌تواند به سیستم عصبی، کلیه‌ها و تولید مثل به ویژه در کودکان آسیب برساند.^[۲-۴] Cu^{2+} از عناصر میکروالمنت است که در فرایندهای فیزیولوژیکی دخیل است. تغیر انداز در مقادیر Cu^{2+} در سلول منجر به اختلال‌ها و بیماری‌های گسترش‌یافته می‌شود. به عنوان مثال، افزایش انداز Cu^{2+} در غذا و آب می‌تواند خطر ابتلا به بیماری‌های کوناگون، از جمله: بیماری‌های قلبی عروقی، کاهش تمرکز، آنرایم، نارسايی کبدی، اختلال عملکرد کلیه و غیره را افزایش دهد. بتایران پایش سطح Cu^{2+} و Pb^{2+} و حذف آن‌ها از محیط‌های طبیعی به دلیل سمتیت بالا و سرطان‌زا بیماری آن‌ها بسیار مهم و ضروری است.^[۵,۶] علاوه بر آن تخلیه‌ی فاضلاب‌های محتوی رنگ باعث کاهش شفافیت آب، نفوذ نور در آب و ایجاد اختلال در فعالیت‌های فتوسنتزی موجودات

* نویسنده مسئول

تاریخ: دریافت ۲۷ اکتبر ۱۳۹۹، اصلاحیه ۲۱، ۱۴۰۰، ۲/۴، پیشرش ۱۴۰۰.

DOI:10.24200/J30.2021.57151.2886

رنگ (CR) Congo Red و محلول استاندارد یون‌های فلزات سنگین Pb^{+2} , Cu^{+2} , پتاسیم پرمونگنات (KMnO₄), پتاسیم پرسولفات (K₂S₂O₈), فسفروز پنتوکساید (P₂O₅), سدیم هیدروکساید (NaOH), اسید سولفوریک (H₂SO₄), آتانول و اسید هیدروکلریک از شرکت Merck آلمان تهیه شده است.

۲.۲. سنتز نانوکامپوزیت EDTA-GO

گرافن اکساید با روش اصلاح شده هامر (۱۹۵۸)،^[۱۸] سنتز شده است. مبنای روش اخیر اکسیداسیون چند مرحله‌ی گرافیت در حضور اکسیدکننده‌های قوی مثل H₂O₂, K₂S₂O₈, KMnO₄, H₂SO₄, P₂O₅ (۱ گرم) و H₂SO₄ غلیظ (۳ میلی لیتر) به ۲ گرم پودر گرافیت در دمای ۸۰ درجه سانتی‌گراد اضافه و پس از گذشت ۶ ساعت، محصول این مرحله با آب و آتانول شستشو داده شد، تا pH ۷ برسد. پودر حاصل با سانتریفیوز جدا و خشک شد. در مرحله بعد، KMnO₄ به ترتیب به محلول H₂SO₄ غلیظ (۵۰ میلی لیتر) و پودر اکسیدشده (۲ گرم) که در حمام بین (دمای صفر درجه‌ی سانتی‌گراد) قرار گرفته بودند، اضافه شد. سپس دمای محلول به ۳۵ درجه سانتی‌گراد افزایش داده شد و ۲ ساعت در همان دما بر روی همزن مغناطیسی باقی ماند. پس از اضافه کردن تردیجی آب (۳۸۰ میلی لیتر) (۳۰٪، میلی لیتر) به محلول در حال همزن، رنگ محلول از قهوه‌ی به زرد روش تغییر رنگ می‌دهد. پس از انجام واکنش به مدت ۲۴ ساعت، محصول حاصل (GO) فیلتر و چندین بار تا رسیدن pH در حدود خنثی با آب مقطر شسته شد.

به منظور اصلاح سطح گرافن اکساید با گروه EDTA ۱ گرم GO در ۵۰ میلی لیتر آتانول به مدت ۱ ساعت به کمک حمام التراسونیک پراکنده شد. سپس محلول EDTA (۱/۵ میلی مول) و آتانول (۲۰ میلی لیتر) به GO پراکنده شده در آتانول در دمای ۶۰ درجه‌ی سانتی‌گراد اضافه و بر روی همزن مغناطیسی قرار داده شد. در این مرحله EDTA با گروه‌های هیدروکسیل و کربوکسیل در سطح GO هیدرولیز و پیوندهای -Si-OH- ایجاد شد. پس از گذشت ۱۲ ساعت، نانوکامپوزیت EDTA-GO فیلتر و به منظور حذف ناخالصی‌ها چندین بار با آتانول شسته و در آن خشک شد.

۳.۲. روش ساخت غشاء نانوفیلتراسیون

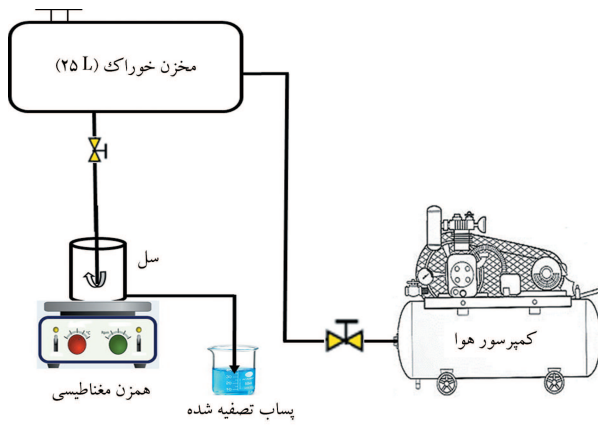
کلیه‌ی غشاها نانوفیلتراسیون با استفاده از روش جدایش فاز تهیه شدند (شکل ۱).^[۲۰] برای این منظور محلول‌های همگن با درصد‌های وزنی مشخص (نسبت به وزن پلیمر) از PES، نانوکامپوزیت EDTA-GO و PVP به عنوان متخلخل‌کننده در حلال DMAc در دمای محیط با استفاده از همزن مغناطیسی تهیه شد. ترکیب اجرا با نسبت وزنی غشاها ساخته شده در جدول ۱ ارائه شده است. پس از گذشت ۲۴ ساعت، که تمامی مواد کاملاً در حلال پراکنده شدند، جهت حذف حباب‌های هوای طروف محتوی مواد پلیمری به مدت ۲ تا ۳ ساعت درون آون در دمای ۵۰ درجه‌ی سلسیوس قرار داده شد. در پایان، محلول پلیمری همگن به کمک فیلم‌کش و با ضخامت ۱۵۰ μ بر روی شیشه‌های صاف قالب‌گیری شدند. غشاها ساخته شده بالا فاصله به یک حمام انعقاد (آب ۲ بار تقطیر) منتقل شد. بعد از شکل‌گیری غشاها، نمونه‌های ساخته شده با آب ۲ بار تقطیر شسته و با استفاده از کاغذهای فیلتر خشک شدند.

زنده‌ی آب می‌شوند.^[۲۱] البته باید توجه داشت اگر فاصلاب‌های صنعتی به خوبی با روش‌های کارآمد تصفیه بازیابی شوند، می‌توانند به عنوان یک منبع آب با ارزش برای مصارف انسانی خصوصاً در کشورهایی که با بحران آب مواجه هستند، استفاده شوند.^[۱۰] بنابراین استفاده از روش‌های نوین، مقوّون به صرفه و کارآمد در تهیه آب با کیفیت برای صنایع و جوامع مختلف و همچنین حذف اجزاء سمی از فاصلاب کاملاً ضروری است. نانوفیلتراسیون^۲ (NF) غشای در میان فناوری‌های مختلف حذف آلاینده‌ها از محیط‌های آبی، از جمله: ترسیب شیمیایی^۳، تبادل یونی^۴، اکسیداسیون شیمیایی^۵، جذب^۶ و فیلتراسیون غشایی^۷ به عنوان یک فناوری پایدار ارزان قیمت، کاربرد آسان، مصرف پایین انرژی و بازدهی بالا توجه بسیاری را به خود جلب کرده است.^[۱۱] پلیمر پلی‌اترسلفون^۸ (PES) به دلیل داشتن پایداری حرارتی، مقاومت مکانیکی و شیمیایی مناسب، یکی از مهم‌ترین مواد پلیمری است که به طور گسترش در ساخت غشاء نانوفیلتراسیون استفاده می‌شود. با این حال، عملکرد جداسازی غشاء مذکور به دلیل کمبود گروه‌های عاملی مؤثر در ساختار پلیمر و گرفتگی ناشی از آلاینده‌ها که متعاقباً باعث افزایش چشمگیر مصرف انرژی و هزینه‌های نگهداری می‌شود، به طور چشمگیری کاهش می‌باید. بنابراین، برای افزایش عملکرد جداسازی همراه با افزایش شار آب و کاهش گرفتگی، باید ماتریس PES اصلاح شود.^[۱۲] اموره ز استفاده از نانومواد به منظور افزایش آب دوستی سطح غشا با هدف اصلاح غشاء کاهش گرفتگی یکی از مؤثرترین روش‌های است. نانومواد بر پایه‌ی کربن، یکی از اصلاح کننده‌های مؤثر در غشاها نانوفیلتراسیون هستند که به دلیل وجود گروه‌های عاملی آب دوستی، پایداری شیمیایی، غیررسمی بودن، سطح ویژه‌ی بالا و پراکنده‌ی خوب در محلول پلیمری سیار به آن‌ها توجه شده است. نانوصفحات گرافن اکساید^۹ (GO) با گروه‌های عاملی مختلف از جمله اپوکسی، کربوکسیل و هیدروکسیل، خصوصیات آب دوستی و جذب عالی برای آلاینده‌ها را دارد و گزینه‌ی مناسب در ساخت غشا برای کاربردهای محیط‌زیستی است.^[۱۳] با این حال، GO در غلظت‌های بالا در محلول پلیمری کلوخه می‌شود و سایت‌های فعل سطح غشا کاهش می‌باید. با اصلاح سطح GO با گروه‌های عاملی مناسب از جمله گروه‌های آب دوستی آمینی، مانند EDTA^{۱۰} به عنوان ماده‌ی کلیت‌کننده می‌توان بر مشکل اشاره شده غالبه کرد. نه فقط می‌تواند منجر به پراکنده‌ی همگن نانومواد در حلال‌های آلی شود، بلکه ساختار کلیت‌کننده EDTA و گروه‌های آمینی ذراوان باعث افزایش آب دوستی در فیلتراسیون محلول‌های آبی می‌شود. همچنین القای بار منفی بر روی سطح GO از طریق گروه‌های آمینی می‌تواند برهمکنش پلیمر و اصلاح‌کننده را بهبود پختند و سبب افزایش چشمگیر حذف آلاینده‌ها شود.^[۱۱] در مطالعه‌ی حاضر پس از سنتز نانوصفحات GO و نانوکامپوزیت EDTA-GO، به عنوان نانوفیلر و به منظور افزایش آب دوستی و بهبود مورفولوژی سطحی غشاها پلیمری در ماتریس غشاء PES برای ساخت غشاها نانوفیلتراسیون به روش جدایش فار استفاده شده است. سپس عملکرد آن‌ها از نظر شار عبوری، گرفتگی، نمک‌زادایی و کارایی حذف یون‌های فلزات سنگین^{۱۱} Pb^{+2} و Cu^{+2} و رنگ CR در سیستم تک جزئی و دوچرخه‌ی نمک - رنگ بررسی شده است.

۲. مواد و روش‌ها

۲.۱. مواد

پلی اتر سولفون (PES) از شرکت BASF آلمان، پلی وینیل پرولیدون (PVP)، EDTA، دی‌متیل استامید (DMAc)، آلبومین خون‌آبی گاوی (BSA)، گرافیت،



شکل ۲. تصویر شماتیک از تجهیزات سل نانوفیلتراسیون به روش تحت فشار.

آب مقطر محاسبه شد:

$$r_m = \sqrt{\frac{(2,9 - 1,75\epsilon) \times \Delta P Q}{\epsilon \cdot A \cdot \Delta P}} \quad (2)$$

که در آن، مقادیر ϵ ، Q و ΔP ترتیب نشانده‌هی ویسکوزیته‌ی آب $(8/9 \text{ Pa.s})$ (10^{-3} Pa.s) دیگر جریان تراویش یافته (شار) $(1 \text{ m}^3 \text{s}^{-1})$ و فشار اعمالی (bar) هستند.

۵.۲ بررسی عملکرد فیلتراسیون غشاهای ساخته شده در نمک‌زدایی، حذف فلزات سنگین و رنگ

از دستگاه فیلتراسیون تحت فشار^{۱۱} با سل‌های 200 میلی لیتری و سطح مؤثر غشاء $19/6 \text{ سانتی‌مترمربع}$ به منظور بررسی کارایی غشاهای ساخته شده استفاده شده است. نمایی از سیستم تحت فشار در شکل ۲ مشاهده می‌شود. برای دستیابی به شار ثابت پیش از شروع آنالیز شار، ابتدا غشاها در فشار^۴ bar به مدت 30 دقیقه فشرده و سپس شار آب مقطر به مدت 60 دقیقه در فشار^۳ bar و دمای اتاق اندازه‌گیری شد. در ادامه، برای بررسی ویژگی ضدگرفتگی غشاها، محلول $10/5 \text{ g L}^{-1}$ BSA به عنوان یک عامل گرفتگی بسیار قوی در فشار^۳ bar به مدت 90 دقیقه از سل‌ها عبور داده شد. شار عبوری در هر مرحله با استفاده از معادله‌ی 3 محاسبه شد:^[۱۲]

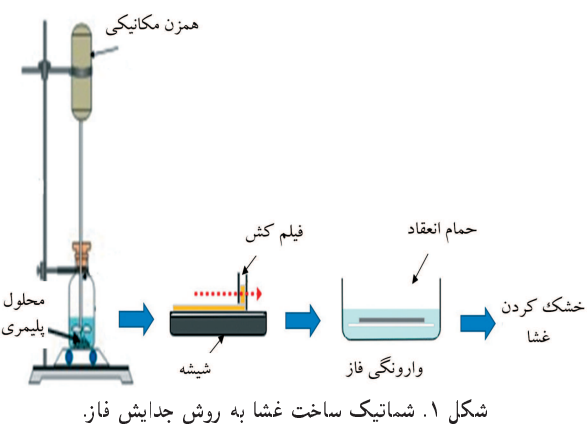
$$J_{w,1} = \frac{M}{A \cdot \Delta t} \quad (3)$$

که در آن، J شار ($\text{kg m}^{-2} \text{ h}^{-1}$) و M جرم آب عبوری از غشا در بازه‌ی زمانی Δt بر حسب کیلوگرم و A مساحت سطح فعال غشا بر حسب مترمربع هستند. برای محاسبه‌ی سایر انواع شار (شار پروتئین (J_p ، BSA)، $\text{نانویه‌ی آب مقطر} \text{ و شار محلول نمک} \text{ یا آلاینده} \text{) نیز از رابطه‌ی 3 استفاده شده است.$

پس از فیلتراسیون BSA، غشاها با آب مقطر شسته و به مدت 30 دقیقه در آب مقطر استراحت داده شدند. در ادامه، مجدداً سل‌ها با آب مقطر پروتئین nanowhite آب مقطر اندازه‌گیری شدند. نرخ بازیابی شار با استفاده از معادله‌ی 4 محاسبه شده است:^[۱۰]

$$FRR(\%) = \left(\frac{J_{w,2}}{J_{w,1}} \right) \times 100 \quad (4)$$

مقدار FRR بیشتر بیانگر خاصیت ضدگرفتگی بهتر غشا و بازگشت بهتر شار بعد از گرفتگی است. همچنین برای مطالعه‌ی دقیق تر گرفتگی غشا، مقادیر هر یک از



شکل ۱. شماتیک ساخت غشا به روش جدایش فاز.

جدول ۱. نسبت وزنی و ترکیب اجزاء غشاهای نانوفیلتراسیون ساخته شده.

(wt.%)	غشا نانوفیلتراسیون		کد غشا	غشا نانوکامبوزیت
	PVP	PES		
۰	۱	۲۱	NFM _۰	PES/Bare
۰/۱	۱	۲۱	NFM _۱	PES/GO
۰/۱	۱	۲۱	NFM _۲	PES/EDTA-GO
۰/۲۵	۱	۲۱	NFM _۳	PES/EDTA-GO
۰/۵	۱	۲۱	NFM _۴	PES/EDTA-GO

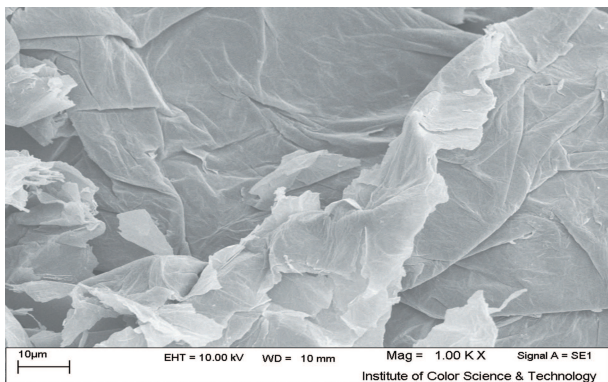
۴.۲ شناسایی ویژگی‌های نانوکامبوزیت سنتز شده و غشاهای نانوفیلتراسیون ساخته شده

بررسی مورفوولوژی GO. سطح و مقطع عرضی غشاها، درستی سنتز و شناسایی گروه‌های عاملی نانوکامبوزیت EDTA-GO با استفاده از آنالیزهای شناسایی انجام شد. برای شناسایی ویژگی‌ها و درستی سنتز GO و غشاهای ساخته شده از میکروسکوپ الکترونی روبشی نشر میدانی (SEM)، مدل (FE-SEM) LEO 1455VP (Bruker-iFS Ettlingen, ۴۸) استفاده شد. شناسایی گروه‌های عاملی و نوع پیوندهای شیمیایی در هر مرحله از عامدار کردن گرافن اکساید و شیمی سطح غشا از دستگاه طیف‌سنج مادون قرمز انتقالی (FTIR) استفاده شده است. برای آنالیز مورفوولوژی سطح غشا از میکروسکوپ نیروی اتمی (AFM VEECO USA) استفاده شد. تصویربرداری از یک سطح مربع میکرون انجام و تصاویر در نرم‌افزار WSXRM تحلیل و پردازش شدند. پارامترهای زبری سطح شامل زبری میانگین (S_a)، ریشه‌ی میانگین مربع داده‌های Z (S_q) و متوسط تقاضت میان 4 قله‌ی مرتفع تر و 4 دره‌ی عمیق تر (Sz) از طریق تصاویر AFM محاسبه شدند. به منظور اندازه‌گیری پایداری مکانیکی (استحکام کششی و تعییر طول) غشاهای ساخته شده از دستگاه INSTRON استفاده شد. میزان آب دوستی و تخلخل غشاهای ساخته شده به ترتیب با استفاده از آنالیز زاویه‌ی تماس آب و روش وزن‌سنجی بررسی و میزان تخلخل با استفاده از معادله‌ی 1 محاسبه شد.

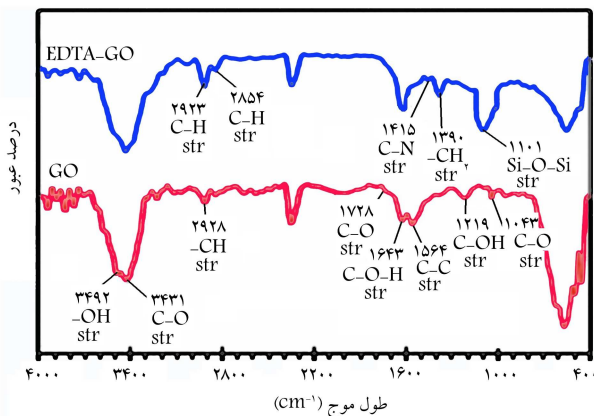
$$\epsilon = \frac{\omega_1 - \omega_2}{A \times l \times d_w} \quad (1)$$

که در آن، ω_1 و ω_2 به ترتیب وزن خیس و وزن خشک غشا، A مساحت غشا (m^2), l ضخامت غشا (m) و d_w چگالی آب ($cm^{-3} g^{-1}$) است.

اندازه‌ی حفره‌های (r_m) غشاهای ساخته شده از طریق معادله‌ی Guerout-Elford-Ferry (رابطه‌ی 2) و با استفاده از نتایج به دست آمده از تخلخل و شار



شکل ۳. تصویر میکروسکوپ الکترونی GO در بزرگ نمایی ۲۰۰ میکرومتر.



شکل ۴. آنالیز FT-IR نانوصفحات GO و نانوکامپوزیت EDTA-GO.

کششی گروههای C-O-C و C-OH در ساختار GO در طول موج‌های ۱۳۷۰ و ۱۰۷۰ (cm^{-1}) مشاهده می‌شود.^[۲] ظهور پیک جدید در طیف جذبی IR نانوکامپوزیت EDTA-GO در محدوده $110\text{--}1\text{ cm}^{-1}$ است که مربوط به پیوند Si-O-C نشان‌دهنده اتصال موفقیت‌آمیز EDTA بر روی سطح GO است. وجود پیک گستردۀ در $3449\text{--}3$ (cm^{-1}) به پیوند های هیدروژنی O-H و H-O-H^[۱۹] در آب یا اسکلت کربن GO مرتبط است.^[۲۰] همچنین حضور پیک EDTA در نانوکامپوزیت EDTA-GO نسبت داده می‌شود. پیک جذبی در $1415\text{--}2854$ (cm^{-1}) به ترتیب به گروه C-N و متیلن در ساختار EDTA مربوط به ارتعاش خمشی پیوند N-H ذرگروه آمینی در EDTA 1579 cm^{-1} و تأیید درستی سنتز EDTA-GO است.^[۲]

۲.۳. شناسایی ویژگی غشاهای نانوفیلتراسیون ساخته شده
ویژگی مورفولوژی غشاها با استفاده از FE-SEM. سطح بالایی و مقطع عرضی
غشاهای ساخته شده مطالعه شده است (شکل های ۵(a) و ۵(b)). تصاویر
FE-SEM سطح بالایی نشان می دهند که سطح غشاها به صورت صاف، بدون ترک، و
یا تجمع نانوکامپوزیت EDTA-GO بوده و با افزودن GO به ماتریس
غشا، ساختار غشا بدون تغییر باقی مانده است. همانگونه که به واضح در تصاویر
مقطع عرضی غشاها (شکل ۵(b)) مشاهده می شود، غشاها ساختار نامتقارن بالایی
جداساز متراکم و حفره های لوله بی مانند در زیر لایه دارند. با افزایش درصد وزنی
EDTA-GO از ۱/۰ به ۵/۰، ضخامت لایه بالایی کاهش و ممتازه لوله بی مانند
زیرین به دلیل تغذیهات سنتزیک، و ترمودنامیکی، فرازند حداشت، فاز، که باعث

جدول ٢. مشخصات فیزیکی و شیمیایی Pb^{2+} , Cu^{2+} و CR .

موج جذب (nm)	وزن مولکولی (Da)	شعاع (Å)	هیدراته یونی	سرپ مس
-	-	۴/۰۱	۲/۰۲	کونگورود
۴۹۸	۶۹.۶/۶۶	۴/۱۹	۱/۴۰	کوئین

پارامترهای گرفتگی کل (R_t), گرفتگی برگشت پذیر (R_r) و گرفتگی برگشت ناپذیر (R_{rr}) به ترتیب از طریق معادله‌های ۵ الی ۷ محاسبه شده‌اند:^[۲۰]

$$R_t = (\gamma - \frac{J_p}{J_{\text{max}}}) \times \gamma \circ \circ \quad (5)$$

$$R_r = \left(\frac{J_{w,\mathfrak{r}} - J_p}{I} \right) \times 100 \quad (8)$$

$$R_{ir} = \left(\frac{J_{w,\downarrow} - J_{w,\uparrow}}{I_w} \right) \times \gamma \circ \circ \quad (\forall)$$

عملکرد غشاهای ساخته شده در نمک‌زدایی نمک‌های معدنی NaCl , Na_2SO_4 , MgSO_4 و حذف یون‌های فلزات سنگین Pb^{2+} , Cu^{2+} و رنگ آنیونی CR ارزیابی شده است. مشخصات فیزیکی و شیمیابی Cu^{2+} , pb^{2+} , CR در جدول ۲ ارائه شده است. غلطت محلول های خوارک در سیستم تک جزئی نمک‌ها، جدول ۳ ارائه شده است. غلطت محلول خوارک در سیستم تک جزئی Cu^{2+} و Pb^{2+} و رنگ CR به ترتیب $5/5$, $1/1$, $0/0$, $2/2$, $0/0$ بوده است. در سیستم دوچری نمک - رنگ، محلول خوارک از Na_2SO_4 با غلطت‌های مختلف (gL^{-1}) با استفاده از CR و Cu^{2+} با غلطت ثابت $(1/1)$ با استفاده از Na_2SO_4 با غلطت ثابت $(2/2)$ و $(2/5)$ ایده‌آل فیلتر شد. تمام آزمایش‌های فیلتراسیون در فشار 3 bar و در دمای 20°C به مدت 90 دقیقه انجام شد. میزان جداسازی Pb^{2+} , Cu^{2+} , BSA و CR با استفاده از معادله $Y = 8$ تعیین شده است:

$$R(\%) = (1 - \frac{C}{C_0}) \times 100 \quad (\text{A})$$

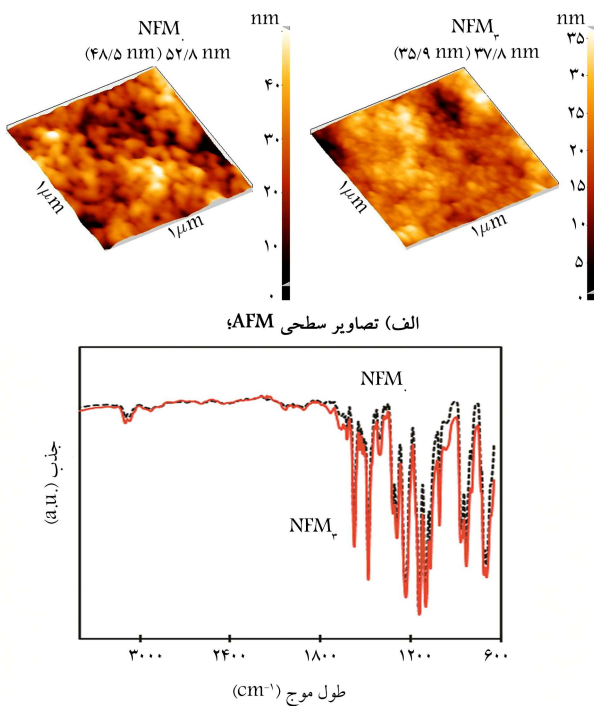
که در آن، R بیانگر کارایی حذف، C و C' نیز به ترتیب نشان دهندهی غلاظت BSA، نمک یا آلاینده در خوارک و خروجی غشای هستند. لازم به ذکر است که کلیه‌ی آزمایش‌ها با دست کم ۳ بار تکرار انجام شده است و میزان خطأ (انحراف معیار) به صورت میله‌ی خطأ در نمودار مشاهده می‌شود.

٣- نتائج و بحث

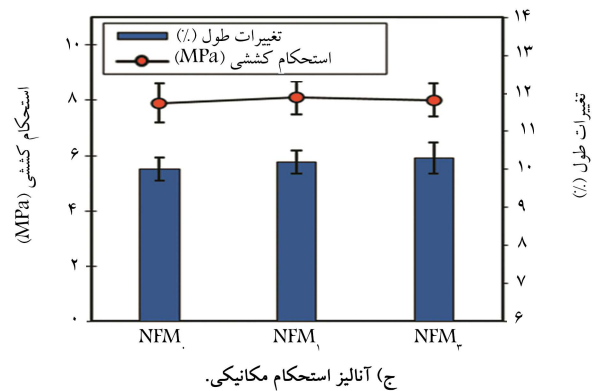
۱.۳. شناسایی و شگردهای کامپوزیت EDTA-GO

ریخت‌شناسی و ساختار سطحی نانوصفحات GO در بزرگنمایی‌های ۲۰۰ نانومتر با استفاده از تصاویر میکروسکوپ الکترونی روبشی (SEM) در شکل ۳ مشاهده می‌شود، که مطابق تصاویر GO ظاهری لایه‌لایه با خصامت زیاد، سطح صاف و

طیف سنج مادون قرمز انتقالی (FT-IR) برای بررسی پیوندهای شیمیایی و همچنین اطمینان از حضور گروههای عاملی EDTA بر روی سطح نانوصفحات GO در محدوده $(4000 - 400\text{ cm}^{-1})$ ثبت شد که در شکل ۴ مشاهده می‌شود. حضور یک جذبی در 3440 , 3435 ، و $1618\text{ (cm}^{-1}\text{)}$ در طیف گرافن اکساید به ترتیب مربوط با ارتعاش پیوند کششی C-O^- , OH و FT-IR C-C ساختار شکل ۴ است. همچنین، یک‌های جذبی، مردوبه ارتعاش، های

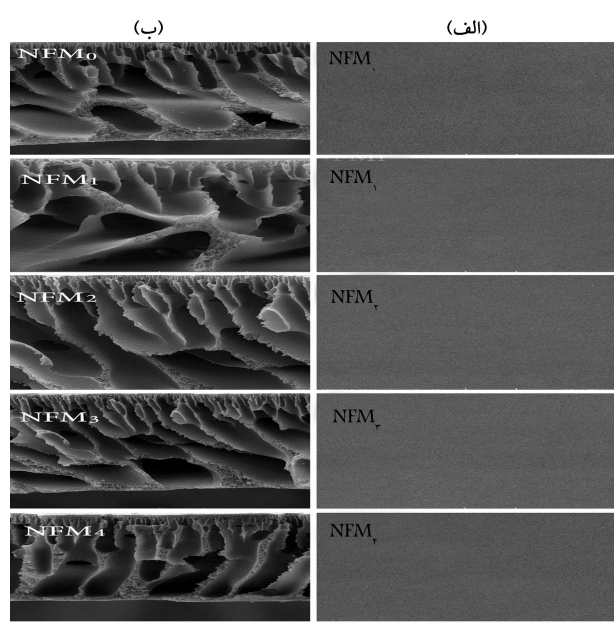


شکل ۵. آنالیز ATR-FTIR غشاها نانوفیلتراسیون NFM₁ و NFM₂ ساخته شده.



شکل ۶. شناسایی ویژگی غشاها نانوفیلتراسیون ساخته شده.

نتایج حاصل از آنالیز ATR-FTIR به منظور بررسی شیمی سطح و گروه های عاملی سطح غشاها NFM₁ و NFM₂ در شکل ۶ ب مشاهده می شود، که مطابق آن هر دو پیک مشابه و هم پوشانی بسیار بالای دارند. در الگوی طیف هر دو غشا، دو پوند در گسترهای ۱۱۴۷ و ۱۲۲۶ (cm⁻¹) که به ترتیب مربوط به ارتعاش کششی متقاضن و غیر متقاضن مربوط به پیوند $S=O$ در ساختار پلی اترسولفون هستند، مشاهده می شود.^[۱۳] با توجه به آنالیز FT-IR، نانوکامپوزیت EDTA-GO در گسترهای ۳۴۴۰، ۳۴۳۵، ۱۶۱۸، ۱۶۲۹، ۱۵۷۹، ۱۴۱۵، ۱۳۷۰، ۱۰۷۰ و ۱۰۶۴ (cm⁻¹) که به ترتیب مربوط به پیوندهای C-N، C=O، C=C، C=C، C-O-O-H و C-O-C است، پیک اصلی دارد (شکل ۴).^[۱۴] پیک های مشابهی در الگوی طیف ATR-FTIR مربوط به غشاء پلی اترسولفون اصلاح شده با نانوفیلر EDTA-GO به ترتیب در گسترهای طول موج های ۱۳۶۱، ۱۴۰۵، ۱۶۲۰، ۳۴۰۰ و ۱۰۶۴ (cm⁻¹) مشاهده می شود. شدت پیک های مذکور به دلیل محتوای بسیار با این GO در ساختار غشاء NFM₂ ضعیف است. با وجود این، شدت پیک های ذکر شده در طیف ATR-FTIR مربوط به غشاء اصلاح شده

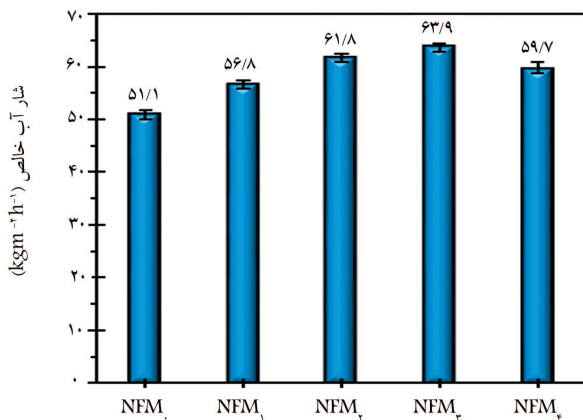


شکل ۷. شناسایی مورفولوژی غشاها نانوفیلتراسیون ساخته شده.

جدول ۳. پارامترهای زبری سطح غشاها نانوفیلتراسیون ساخته شده.

غشا	S_z (nm)	S_q (nm)	S_a (nm)	پارامترهای زبری
NFM ₁	۵۲/۷	۸/۶۷	۷/۰۷	
NFM ₂	۳۱/۳	۵/۸۳	۴/۹	

افزایش نرخ انتقال جرم بین فاز حلال و غیر حلال در مرحله ای انعقاد سازی است، افزایش می یابد. به عبارت دیگر، به دلیل وجود گروه های عاملی آب دوست آمینی در سطح EDTA-GO، میزان بازگذاری آن در محلول های پلیمری در طی روند جدایش فاز افزایش می یابد و منجر به انتشار بیشتر آب در غشاها منعد شده می شود. بنابراین EDTA-GO به عنوان یک عامل تشکیل و افزایش دهنده منفذ است. اگرچه افزایش ۵/۰٪ وزنی EDTA-GO در محلول پلیمری باعث افزایش ویسکوزیته ای محلول پلیمری و کاهش نرخ تبادل فازهای حلال و غیر حلال می شود. در نتیجه، سرعت اعقاد سازی غشا کاهش می یابد و در نهایت، غشا با ساختاری متراکم تر و تخلخل کمتر شکل می گیرد.^[۱۲، ۱۳] تصاویر AFM غشاء اصلاح نشده PES و غشاء اصلاح شده با ۰/۰۲۵٪ وزنی EDTA-GO با اندازه ای اسکن ۱ μm × ۱ μm در شکل ۶ الف مشاهده می شود. نقاط تیره و روشن به ترتیب بیانگر پستی و بلندی ها هستند. پارامترهای زبری محاسبه شده از آنالیز AFM برای هر دو غشا در جدول ۳ ارائه شده است. همان طور که از نتایج مشاهده می شود، غشاء NFM₂ سطح صاف تری در مقایسه با غشاء NFM₁ دارد. سطح صاف تر و کاهش زبری، تأیید کننده ای پراکنده خوب نانوفیلر EDTA-GO در ماتریس غشاء PES است. با توجه به اینکه مولکول های ایجاد کننده گرفتگی تمايل بالایی برای جذب در دره ها (پستی ها) و تشکیل فیلتر کیک دارند، غشاها با سطح صاف تر، پایداری بالاتری نسبت به گرفتگی دارند. با کاهش گرفتگی میزان شارع بوری افزایش می یابد. بنابراین غشاء NFM₂ به دلیل سطح صاف تر، شارع بالاتر و خاصیت ضد گرفتگی بهتری نسبت به غشاء NFM₁ دارد.^[۱۲، ۱۳]



شکل ۷. شار آب خالص غشاها نانوفیلتراسیون ساخته شده با غلظت‌های مختلف نانوفیلر EDTA-GO در فشار ۳ bar و دمای ۲۵ درجه‌ی سانتی‌گراد.

جدول ۴. زاویه‌ی تماس، تخلخل کلی و میانگین قطر حفره‌های غشاها ساخته شده.

غشا	زاویه‌ی تماس (°)	تخلخل کلی (%)	میانگین قطر حفره‌ها (nm)
۱/۰۱	۶۳/۱	۷۶/۱۷	NFM _۰
۱/۰۶	۶۹/۹	۷۰/۱۱	NFM _۱
۱/۱۸	۷۳/۳	۶۵/۲۴	NFM _۲
۱/۲۳	۷۵/۹	۵۴/۸۵	NFM _۳
۱/۱۴	۷۷/۵	۶۷/۳۱	NFM _۴

NMF_۰ نسبت به غشاء NFM نشان از حضور EDTA-GO در ساختار غشا دارد.^[۱۲] نتایج استحکام مکانیکی غشاها NFM_۰، NFM_۱، NFM_۲ و NFM_۳ در شکل ۶ مشاهده می‌شود که مطابق آن تغییر چشم‌گیری در استحکام کششی و تغییر طول غشاء پایی انسولفون پس از اصلاح با نانوفیلر EDTA-GO مشاهده نمی‌شود. بنابراین می‌توان توجه گرفت که افزودن نانومواد سبب تضعیف ویرگی‌های مربوط به استحکام مکانیکی غشا نشده است.^[۱۷،۱۸]

به منظور تعیین میزان آب دوستی سطح غشاها ساخته شده، آنالیز زاویه‌ی تماس انجام شد. در جدول ۴، نتایج مربوط به آزمون آب دوستی و مقادیر زاویه‌ی تماس ارائه شده است. با توجه به مقادیر بدست آمده از آنالیز زاویه‌ی تماس، با افزایش محتوای نانوکامپوزیت EDTA-GO در ساختار غشاها، زاویه‌ی تماس کاهش یافته است. زاویه‌ی تماس با خاصیت آب دوستی غشا، یک رابطه‌ی معکوس دارد. بنابراین هر چه زاویه‌ی تماس سطح غشا کوچک‌تر باشد، غشا آب دوست‌تر و هر چه زاویه‌ی تماس سطح غشا مقادیر بزرگ‌تری باشد، غشا آب گریزتر است. به طورکلی آب دوستی غشاها ترکیبی با افزایش درصد وزنی نانوکامپوزیت EDTA-GO تا ۵۰/۲۵٪ NMF_۰ نیز افزایش یافته است. غشاء میزان زاویه‌ی تماس ۵۴/۸۵ درجه را داشته است، که حضور کروهای آب دوست در ساختار EDTA-GO، میزان انرژی برهمکنش سطحی را کاهش می‌دهد و تمايل به مولکول‌های آب افزایش می‌یابد. اگرچه با افزایش میزان EDTA-GO از ۵/۰٪ درصد وزنی زاویه‌ی تماس کمی کاهش می‌یابد که ممکن است به دلیل تجمع نانوکامپوزیت در ماتریس غشا باشد و انرژی برهمکنش در سطح غشا را افزایش دهد. تخلخل کلی و میانگین شعاع منافذ غشاها ساخته شده در جدول ۴ ارائه شده است. همان‌طور که نتایج نشان می‌دهد، تخلخل کلی و میانگین شعاع منافذ غشاها اصلاح شده با نانوکامپوزیت EDTA-GO بیشتر از غشاء اصلاح نشده NFM_۰ است. با افزایش درصد وزنی نانوکامپوزیت EDTA-GO از ۱/۰٪ تا ۲۵٪، میزان تخلخل کلی از ۷۱/۹ به ۷۸/۹ درصد و میانگین قطر منافذ از ۱/۱۸ به ۱/۲۱ نانومتر افزایش یافته است.

۳.۳. بررسی عملکرد غشا

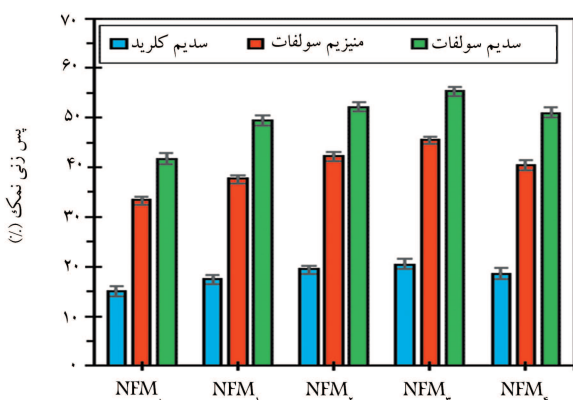
۳.۳.۱. بررسی تغییرات شار آب خالص

رونده تأثیر غلظت نانوفیلر EDTA-GO در تغییرات داده‌های مربوط به شار آب خالص در شکل ۷ مشاهده می‌شود. عوامل مختلفی، از جمله: تخلخل، ضخامت لایه‌ی جداری، اندازه‌ی حفره‌ها، و میزان آب دوستی ساختار غشا در روند شار عبوری از غشا تأثیر دارد. بنابراین با افزایش تخلخل، آب دوستی و اندازه‌ی حفره‌ها، شار عبوری افزایش می‌یابد.^[۱۵،۲۲] مطابق شکل ۷، شار عبوری از غشاها اصلاح شده با نانوکامپوزیت EDTA-GO در مقایسه با غشاء پایه‌ی PES به دلیل افزایش تخلخل و اندازه‌ی حفره‌های سطحی افزایش یافته است. البته میزان شار عبوری با افزایش غلظت نانوفیلر تا ۵٪ وزنی، از ۶۱/۸ به ۵۹/۷ (۵۹/۷ kgm^{-۲} h^{-۱}) کاسته شده است که می‌تواند به عمل کلوخه شدن نانوفیلر EDTA-GO در ساختار غشا و ایجاد گرفتگی در حفره‌های غشا باشد. بنابراین غشاء NFM_۰ دارای بیشینه‌ی شار آب خالص (۱۱۳ kgm^{-۲} h^{-۱}) در فشار ۳ bar است که تقریباً (۱۱۳ kgm^{-۲} h^{-۱}) بیشتر از غشاء NFM_۰ (۵۱/۱۴ kgm^{-۲} h^{-۱}) است.

۳.۳. گرفتگی

به منظور برآورد عمر مغاید و هزینه‌های نگهداری غشاها ساخته شده در تصفیه‌ی پساب واقعی، خواص ضدگرفتگی غشاها ساخته شده با استفاده از فیلتراسیون محلول BSA بررسی شده است؛ چراکه پدیده‌ی گرفتگی از مهم‌ترین عوامل محدودکننده استفاده‌ی عملکردی فناوری غشا است. همچنین در عملکرد جدارسازی، حذف و مقدار شار عبوری از غشا اثر منفی دارد. نتایج به دست آمده از مقدار شار عبوری قبل و بعد از محلول خوارک BSA و نیز محلول BSA در شکل (الف) مشاهده می‌شود که مطابق آن با تغییر محلول خوارک آب خالص به BSA، شار محلول BSA تمام غشاها به طور ناگهانی در ۹۰ دقیقه‌ی دوم کاهش یافته است، که ممکن است به دلیل تجمع BSA در سطح غشا و گرفتگی منافذ باشد.^[۱۶،۱۷،۲۳] پس از آن با شستشو و تمیز کردن غشاها و تغییر محلول خوارک از BSA به آب خالص، شار آب ثانویه‌ی تمامی غشاها تا حدی بازیابی شده است، که بالاترین بازیابی آب خالص مربوط به غشاء NFM_۰ است. همان‌طور که در شکل (ب) نیز مشاهده می‌شود، FRR غشاء NFM_۰ است؛ در حالی که مقادیر FRR غشاها اصلاح شده NFM_۱، NFM_۲، NFM_۳ و NFM_۴ به ترتیب ۵۵/۱۳، ۶۰/۳۳، ۶۳/۳۹ و ۵۷/۲۴ درصد به دست آمده است که نسبت به غشاء اصلاح نشده NFM_۰.

این پدیده به دلیل مهاجرت EDTA-GO به سمت لایه‌ی بالای غشاها در طی فرایند اینعقد است که باعث افزایش نرخ تبادل بین حلال و غیرحلال (جدایش آنی) و افزایش ناپایداری ترمودینامیکی ناشی از آن موجب ایجاد غشاها با ساختار متخلخل می‌شود. با این حال، با افزایش درصد وزنی EDDTA-GO در محلول پلیمری از ۲۵٪ به ۵/۰ درصد وزنی، تخلخل کلی و میانگین قطر منافذ کاهش می‌یابد؛ که احتمالاً می‌تواند به دلیل تجمع نانوکامپوزیت و افزایش وسیکوزیته محلول پلیمری و کاهش نرخ تبادل فازهای حلال و غیر حلal باشد.^[۲۴] به طورکلی، تخلخل غشاها اصلاح شده با نانوفیلر EDTA-GO در مقایسه با تخلخل غشاء PES اصلاح نشده افزایش یافته است که تصاویر FE-SEM نیز افزایش تخلخل را اثبات می‌کند.

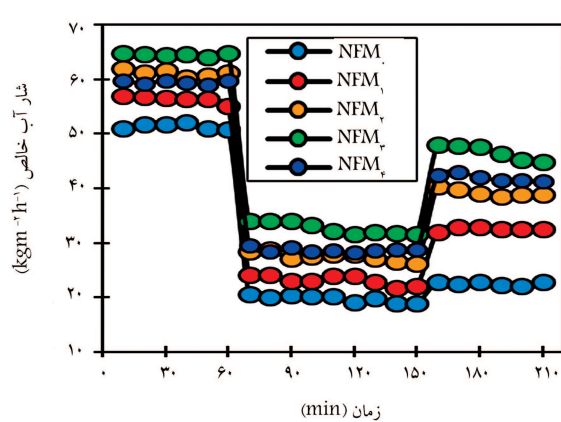


شکل ۹. نسک زدایی غشاها نانوفیلتراسیون ساخته شده (غلاشت نمک: ۱۰/۵g/L)؛ pH: ۶؛ دما: ۲۵ درجه سانتی گراد به مدت ۹۰ دقیقه.

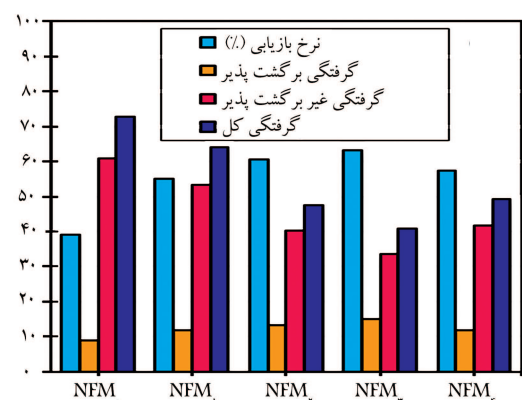
عملکرد فیلتراسیون غشاها، سایز ذرات، نیروی دافعه‌ی الکترواستاتیکی و میزان جذب ذرات مختلف بر سطح غشا است.^[۲۷, ۲۸] در ازاء افزایش غلاشت نانوفیلر EDTA-GO، میزان بار منفی سطح غشاها در محلول افزایش می‌یابد و براساس نیروی دافعه‌ی الکترواستاتیکی، غشا با بار سطحی منفی کاتیون با ظرفیت بالا مانند Mg^{2+} را جذب و آنیون با ظرفیت بالا را دفع می‌کند. با توجه به اثر سایز ذرات، شعاع هیدراته‌ی SO_4^{2-} نسبت به Cl^- بیشتر بوده است، بنابرین میزان جداسازی NO_3^- و SO_4^{2-} نسبت به $NaCl$ بیشتر است. به طورکلی رفتار جداسازی غشاها به صورت $NaCl < MgSO_4 < Na_2SO_4 < Na_2SO_4$ است که رفتار غشاها نانوفیلتراسیون با بار منفی این‌گونه است.^[۲۷, ۲۸]

برای ارزیابی کارایی غشاها ساخته شده در تصفیه‌ی آب‌های آلوده با یون‌های فلزات سنگین، از فیلتراسیون محلول یون‌های فلزات سنگین Pb^{2+} و Cu^{2+} استفاده شده است (شکل ۱۰). براساس نتایج، بالاترین کارایی حذف یون‌های فلزات سنگین Pb^{2+} و Cu^{2+} مربوط به غشا NFM₂ به ترتیب ۸۵ و ۸۸ درصد و کمترین راندمان حذف، ۱۹ و ۲۱ درصد مربوط به غشا NFM بوده است. حذف فلزات با استفاده از روش فیلتراسیون غشاها می‌تواند به این دلایل رخ دهد: (الف) تشکیل کمپلکس بین یون‌های فلزات سنگین و گروه عاملی آمینی EDTA-GO، که در ساختار غشا اضافه شده‌اند، منجر به حذف فلزات شود. (ب) افزودن نانوکامپوزیت EDTA-GO در ماتریس غشا منجر به افزایش بار منفی در سطح غشا شود، در نتیجه باعث افزایش حذف یون‌های فلزات سنگین از طریق نیروی دافعه‌ی الکترواستاتیکی (یون‌های فلزات سنگین با بار مثبت در سطح غشا با بار منفی جذب می‌شوند) شود. (ج) شعاع منافذ غشا در حذف یون‌های فلزات سنگین اثر دارد. ترتیب حذف یون‌های فلزات سنگین به صورت $Pb^{2+} > Cu^{2+} > Na^+$ برای تمامی غشاها ساخته شده است که متناسب با شعاع هیدراته‌ی آن‌هاست.

اما از آنجا که غشاها اصلاح شده با نانوفیلر EDTA-GO با شعاع منافذ بزرگ‌تر، کارایی بالاتری در حذف یون‌های فلزات سنگین را در مقایسه با غشاء PES با شعاع منافذ کوچک‌تر دارند، می‌توان نتیجه گرفت که مکانیسم‌های غالب برای حذف یون‌های فلزات سنگین با استفاده از غشاها اصلاح شده، ویژگی‌های جذبی و حذف الکترواستاتیک غشاها اصلاح شده است.^[۲۹] با وجود این، با افزایش غلاشت EDTA-GO در ماتریس غشاها تا ۵/۰٪ وزنی، کارایی حذف یون‌های فلزات سنگین کاهش جزئی داشته است، که ممکن است به دلیل تجمع احتمالی EDTA-GO در ساختار غشا باشد، که منجر به کاهش سطح مؤثر و کاهش سایتها جذبی فعال شده است.



(الف) شار آب نفوذ کرده در واحد زمان؛

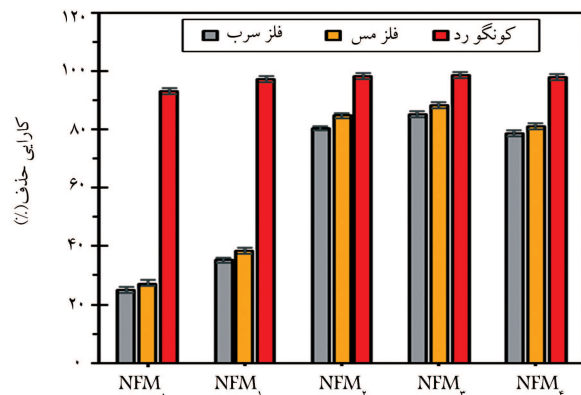


ب) پارامترهای مربوط به مقاومت در برابر گرفتگی.

شکل ۸. عملکرد غشاها نانوفیلتراسیون ساخته شده در برابر گرفتگی.

بسیار بالاتر است. در میان غشاها، غشاء اصلاح شده با درصد وزنی ۲۵/۰ به دلیل مقدار بالای FRR، خواص بالای ضدگرفتگی دارد، که ممکن است به دلیل تغییر در شیمی سطح غشا ناشی از ترکیب PES با نانوکامپوزیت EDTA-GO در ماتریس EDTA-GO غشاها باشد. گروههای عاملی آب دوست آمینی در نانوکامپوزیت EDTA-GO واقع در سطح غشا، پیوند هیدروژنی با مولکول‌های آب برقرار می‌کند و همواره یک لایه‌ی نازک آب در سطح غشا وجود دارد، که مانع جذب BSA به عنوان عامل گرفتگی در سطح غشا می‌شود. جزئیات بیشتر خواص ضدگرفتگی، از جمله: نسبت گرفتگی کل (R_t)، نسبت گرفتگی برگشت پذیر (R_r) و نسبت گرفتگی برگشت ناپذیر (R_{ir}) در شکل ۸(ب) مشاهده می‌شود. نتایج نشان می‌دهد که غشاها اصلاح شده با نانوفیلر EDTA-GO، دارای بیشترین R_r و کمترین مقدار R_t و R_{ir} نسبت به غشا NFM هستند. R_t و R_{ir} برای غشاء اصلاح نشده‌ی NFM به ترتیب ۶۰/۸۶ و ۷۲/۸۲ درصد بوده و به طور قابل توجهی در غشاها اصلاح شده با ۲۵٪ وزنی نانوفیلر به ترتیب ۴۱ و ۳۳/۶۶ درصد کاهش داشته‌اند که نشان دهنده‌ی قابلیت استفاده از NFM در تصفیه‌ی پساب واقعی است.

۳.۲.۳. بررسی کارایی غشاها نانوفیلتراسیون ساخته شده در نمک‌زدایی و حذف فلزات سنگین و رنگ به منظور بررسی عملکرد غشاها ساخته شده در فیلتراسیون نمک‌ها، از محلول نمک‌های $NaCl$ و $MgSO_4$ استفاده شده است. در شکل ۹، کارایی نمک‌زدایی غشاها ساخته شده ارائه شده است. برای همه‌ی غشاها، بالاترین و کمترین جداسازی نمک به ترتیب برای Na_2SO_4 و $NaCl$ است. اساس



شکل ۱۰. کارابی غشاهای نانوفیلتراسیون ساخته شده در حذف یون‌های فلزات سنگین Cu^{2+} و Pb^{2+} رنگ آلی CR (غلظت فلزات = 10 g L^{-1})، $g L^{-1}$ ، $pH = 6$ ، فشار ۳ bar، دمای ۲۵ درجه سانتی‌گراد به مدت ۹۰ دقیقه).

۴. نتیجه‌گیری

در مطالعه‌ی حاضر، GO به روش هامر سنتز و پس از اصلاح سطح با گروه‌های عاملی کلیت‌کننده EDTA، به صورت نانوماده (GO) و نانوکامپوزیت (EDTA-GO)، به عنوان اصلاح‌کننده در ماتریس غشاء PES با استفاده از روش جدایش فاز افزوده شده است. اثر غلظت EDTA-GO در ماتریس غشاهای نانوفیلتراسیون در سورفولوژی، شیمی سطح و عملکرد غشا، از جمله: شار، تخلخل و آب‌دوستی، گرفتگی و نمک‌زدایی بررسی شده است. شار، تخلخل، آب‌دوستی و ویژگی‌های مقاومت در برابر گرفتگی در غشاهای اصلاح شده با GO و EDTA-GO افزایش قابل توجهی نسبت به غشاء اصلاح نشده NFM. داشته‌اند. رفتار غشاهای نانوفیلتراسیون ساخته شده در نمک‌زدایی، مشابه رفتار معمول غشاهای نانوفیلتراسیون بوده است. همچنین کارابی غشاهای ساخته شده در حذف رنگ CR و یون‌های فلزات سنگین Pb^{2+} و Cu^{2+} در سیستم تک‌جزئی آزمون شد، که غشاء NFM₂ با ۲۵٪ وزنی، بالاترین عملکرد و کارابی را در حذف یون‌های فلزات سنگین و رنگ آلی از پساب نشان داده است. کارابی بالای غشاء NFM₂ با ۲۵٪ وزنی نانوکامپوزیت EDTA-GO به عنوان غشاء ایده‌آل (بیشترین میزان آب‌دوستی و شار، بهترین خواص ضدگرفتگی و بیشترین کارابی حذف رنگ و یون Pb^{2+} و Cu^{2+}) در حذف هم‌زمان رنگ - نمک نشان داد که غشاهای اصلاح شده با نانوکامپوزیت EDTA-GO برای توسعه‌ی یک غشاء کارآمد با خواص ضدگرفتگی در تصفیه‌ی آب، پساب و کاربردهای محیط‌زیستی در حذف رنگ و یون‌های فلزات سنگین می‌تواند کارآمد باشد.

کارابی حذف رنگ آلی CR توسط غشاهای ساخته شده، در شکل ۱۰ مشاهده می‌شود. در تمامی غشاهای نانوفیلتراسیون ساخته شده، کارابی حذف بیش از ۹۸٪ بوده است. در غشاهای نانوفیلتراسیون، پدیده‌ی ممانعت فضایی و دافعه‌ی الکتروستاتیکی (پدیده‌ی دونان) در جداسازی و حذف ذرات باردار نقش دارند. همان‌طور که در شکل ۱۰ ملاحظه می‌شود، با افزایش غلظت نانوفیلر EDTA-GO تا ۲۵٪ وزنی در ساختار غشا، حذف رنگ ۹۸٪/۱ ۹۸٪/۷۸ درصد توسط غشا افزایش یافته است، که این افزایش در اثر غربال از طریق دافعه‌ی الکتروستاتیکی بوده است. چرا که هر دو سطح غشا و CR، باز منفی دارند و به واسطه‌ی پدیده‌ی دافعه‌ی دونان، CR حذف شده است. غشای NFM₂ نیز بیشترین کارابی در حذف رنگ CR را به میزان ۹۸٪/۷۸ داشته است.

۴.۳.۳ اثر غلظت نمک در حذف رنگ آنیونی کونگورد از پساب شبیه‌سازی شده

غشاء NFM₂ با شار بالای آب خالص، نمک‌زدایی خوب، کارابی بالا در حذف آلاینده‌ها به عنوان غشاء ایده‌آل در تصفیه‌ی هم‌زمان نمک-رنگ بررسی شده است. بدین منظور کارابی غشا در فیلتراسیون محلول دوجزئی حاوی Na_2SO_4 با غلظت‌های مختلف (10^{-1} ، 25^{-1} ، 50^{-1} g L⁻¹) CR با غلظت ثابت (10^{-1} g L⁻¹) مطالعه شده است. نتایج به دست آمده نشان داد که با افزایش غلظت Na_2SO_4 در محلول خوارک از 10^{-1} به 50^{-1} درصد حذف رنگ CR از ۹۸٪/۷ به ۹۶٪/۵ درصد کاهش یافته است که می‌تواند به این دلیل باشد که در غلظت

پانوشت‌ها

1. Congo red (CR)
2. Nanofiltration membrane
3. Chemical precipitation
4. Ion exchange
5. Chemical oxidation
6. Adsorption
7. Membrane filtration
8. Polyethersulfone
9. Graphene oxide nanosheet

10. Ethylenediaminetetraacetic acid
11. Dead-end system

منابع (References)

1. Greenlee, L.F., Lawler, D.F., Freeman, B.D. and et al. "Reverse osmosis desalination: Water sources, technology, and today's challenges", *Water Research*, **43**(9), pp. 2317-2348 (2009).
2. Abbasi, F., Sohrab, F., Baghani, J. and et al. "Improving water consumption efficiency", Agricultural Technical and Engineering Research Institute (2015).
3. Moradi, G., Zinadini, S., Rajabi, L. and et al. "Removal of heavy metal ions using a new high performance nanofiltration membrane modified with curcumin boehmite nanoparticles", *Chemical Engineering Journal*, **390**, pp.124546 (2020).
4. Bahadir, T., Bakan, G., Altas, L. and et al. "The investigation of lead removal by biosorption: An application at storage battery industry wastewaters", *Enzyme and Microbial Technology*, **41**(1-2), pp. 98-102 (2007).
5. Shahbazi, A., Marnani, N.N. and Salahshoor, Z. "Synergistic and antagonistic effects in simultaneous adsorption of Pb (II) and Cd (II) from aqueous solutions onto chitosan functionalized EDTA-silane/mGO", *Biocatalysis and Agricultural Biotechnology*, **22**, pp.101398 (2019).
6. Shahbazi, A., Younesi, H. and Badiei, A. "Batch and fixed-bed column adsorption of Cu (II), Pb (II) and Cd (II) from aqueous solution onto functionalised SBA-15 mesoporous silica", *The Canadian Journal of Chemical Engineering*, **91**(4), pp. 739-750 (2013).
7. Elumalai, S., Yoshimura, M. and Ogawa, M. "Simultaneous delamination and rutile formation on the surface of Ti3C2Tx MXene for copper adsorption", *Chemistry-An Asian Journal*, **15**(7), pp. 1044-1051 (2020).
8. Kamari, S. and Shahbazi, A. "High-performance nanofiltration membrane blended by Fe3O4@ SiO2-CS biocomposite for efficient simultaneous rejection of salts/heavy metals ions/dyes with high permeability, retention increase and fouling decline", *Chemical Engineering Journal*, pp.127930 (2020).
9. Wang, J., Zhu, J., Tsehay, M.T. and et al. "High flux electroneutral loose nanofiltration membranes based on rapid deposition of polydopamine/polyethyleneimine", *Journal of Materials Chemistry A*, **5**(28), pp. 14847-14857 (2017).
10. Ahmad, T., Belwal, T., Li, L. and et al. "Utilization of wastewater from edible oil industry, turning waste into valuable products: A review", *Trends in Food Science & Technology*, **99**, pp. 21-33 (2020).
11. Wang, J., He, R., Han, X. and et al. "High performance loose nanofiltration membranes obtained by a catechol-based route for efficient dye/salt separation", *Chemical Engineering Journal*, **375**, pp.121982 (2019).
12. Gao, F., Zhang, G., Zhang, Q. and et al. "Improved antifouling properties of poly(Ether Sulfone) membrane by incorporating the amphiphilic comb copolymer with mixed poly(Ethylene Glycol) and poly(Dimethylsiloxane) brushes", *Industrial & Engineering Chemistry Research*, **54**(35), pp. 8789-8800 (2015).
13. Kouliband, H., Shahbazi, A. and Vatanpour, V. "Synthesis of PES membrane using amino-functionalized magnetic Fe3O4 nanoparticles for nanofiltration of RG19 dye wastewater", *Sjce. Journals Sharif*, **36.2**(3.1), pp. 151-157 (in Persian) (2020).
14. Vatanpour, V., Shockravi, A., Zarabi, H. and et al. "Fabrication and characterization of anti-fouling and anti-bacterial Ag-loaded graphene oxide/polyethersulfone mixed matrix membrane", *Journal of Industrial and Engineering Chemistry*, **30**, pp. 342-352 (2015).
15. Yan, H., Yang, H., Li, A. and et al. "PH-tunable surface charge of chitosan/graphene oxide composite adsorbent for efficient removal of multiple pollutants from water", *Chemical Engineering Journal*, **284**, pp. 1397-1405 (2016).
16. Madadrang, C.J., Kim, H.Y., Gao, G. "Adsorption behavior of EDTA-graphene oxide for Pb (II) removal", *ACS Applied Materials & interfaces*, **4**(3), pp. 1186-1193 (2012).
17. Kouliband, H., Shahbazi, A., Vatanpour, V. and et al. "Novel antifouling and antibacterial polyethersulfone membrane prepared by embedding nitrogen-doped carbon dots for efficient salt and dye rejection", *Materials Science and Engineering C*, **111**, pp.110787 (2020).
18. Hummers Jr, W.S. and Offeman, R.E. "Preparation of graphitic Oxide", *Journal of the American Chemical Society*, **80**(6), pp. 1339-1339 (1958).
19. Marnani, N.N. and Shahbazi, A. "A novel environmental-friendly nanobiocomposite synthesis by EDTA and chitosan functionalized magnetic graphene oxide for high removal of Rhodamine B: adsorption mechanism and separation property", *Chemosphere*, **218**, pp. 715-725 (2019).
20. Kamari, S. and Shahbazi, A. "Biocompatible Fe3O4@ SiO2-NH2 nanocomposite as a green nanofiller embedded in PES-nanofiltration membrane matrix for salts, heavy metal ion and dye removal: Long-term operation and reusability tests", *Chemosphere*, **243**, pp.125282 (2020).
21. Kouliband, H., Shahbazi, A. and Vatanpour, V. "Fabrication and characterization of a high-flux and antifouling polyethersulfone membrane for dye removal by embedding Fe3O4-MDA nanoparticles", *Chemical Engineering Research and Design*, **145**, pp. 64-75 (2019).
22. Vatanpour, V., Yekavalangi, M.E. and Safarpour, M. "Preparation and characterization of nanocomposite PVDF ultrafiltration membrane embedded with nanoporous SAPO-34 to improve permeability and antifouling performance", *Separation and Purification Technology*, **163**, pp. 300-309 (2016).
23. Salahshoor, Z., Shahbazi, A. and Maddah, S. "Magnetic field -influenced nanofiltration membrane blended by CS -EDTA -mGO as multi -functionality green modifier to enhance nanofiltration performance," *Efficient removal of Na2SO4/Pb2+/RR195 and cyclic wastewater treatment Chemosphere*, **278**, pp.130379 (2021).

24. Chai, P.V., Mahmoudi, E., Teow, Y.H. and et al. "Preparation of novel polysulfone-Fe₃O₄/GO mixed-matrix membrane for humic acid rejection", *Journal of Water Process Engineering*, **15**, (2017). pp. 83-88
25. Mehrjo, F., Pourkhabbaz, A. and Shahbazi, A. "PMO synthesized and functionalized by p-phenylenediamine as new nanofiller in PES-nanofiltration membrane matrix for efficient treatment of organic dye, heavy metal, and salts from wastewater", *Chemosphere*, **263**, pp.128088 (Jan., 2021).
26. Lin, Y., Shen, Q., Kawabata, Y. and et al. "Graphene quantum dot (GQDs)-assembled membranes with intrinsic functionalized nanochannels for high-performance nanofiltration", *Chemical Engineering Journal*, pp.127602 (2020).
27. Liu, C., Wang, W., Zhu, L. and et al. "High-performance nanofiltration membrane with structurally controlled PES substrate containing electrically aligned CNTs", *Journal of Membrane Science*, **605**, pp.118104 (2020).
28. Koulivand, H., Shahbazi, A., Vatanpour, V. and et al. "Development of carbon dot-modified polyethersulfone membranes for enhancement of nanofiltration, permeation and antifouling performance", *Separation and Purification Technology*, **230**, pp.115895 (2020).
29. Wang, J., Zhang, Y., Zhu, J. and et al. "Zwitterionic functionalized layered double hydroxides nanosheets for a novel charged mosaic membrane with high salt permeability", *Journal of Membrane Science*, **510**, pp. 27-37 (2016).
30. Mahdavi, M.R., Delnavaz, M. and Vatanpour V. "Treatment of saline water treatment by nanofiltration process with polyamide membrane modified by multi-walled carbon nanotube", *Sjce. Journals Sharif*, **31.2**(3.1), pp. 39-46 (in Persian) (2019).